

Bild C1: Radialgitter (Siemenssterne) N-W, W-N, N-Z und W-Z; Benutzung des PS-Operators *LAB\* setcolor*

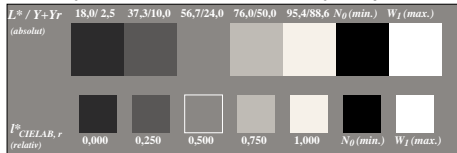


Bild C2: 5 visuell gleichabständige  $L^*$ -Graustufen +  $N_0$  +  $W_1$ ; Benutzung des PS-Operators *LAB\* setcolor*

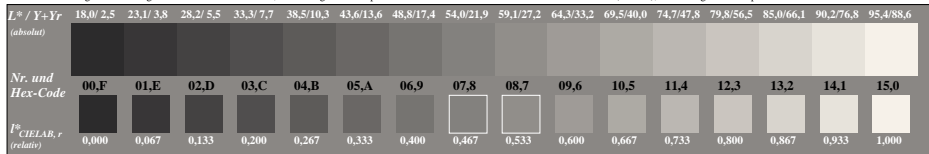


Bild C3: 16 visuell gleichabständige  $L^*$ -Graustufen; Benutzung des PS-Operators *LAB\* setcolor*

Fig. A1 bis A6; ISO/IEC-Prüfvorlage 1; ISO/IEC 15775 und input: *LAB\* setcolor*  
DIS ISO/IEC 19839-X; output: *no change compared to input*

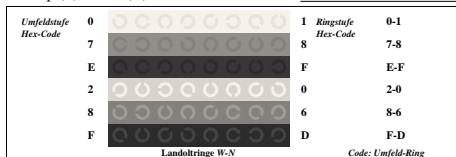


Bild C4: Landoltringe W-N; Benutzung des PS-Operators *LAB\* setcolor*

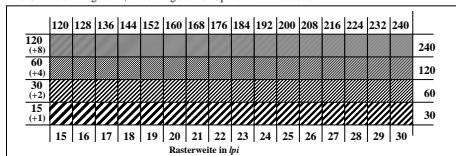


Bild C5: Linienraster unter 45° (oder 135°); Benutzung des PS-Operators *LAB\* setcolor*

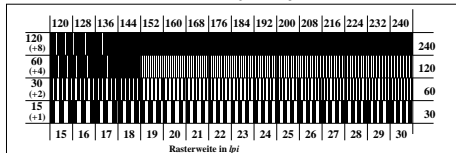


Bild C6: Linienraster unter 90° (oder 0°); Benutzung des PS-Operators *LAB\* setcolor*